УДК 533.9(537.52);621.362

## ВЛИЯНИЕ ФОРМЫ ПЛАЗМЕННОГО ОБРАЗОВАНИЯ НА ТЕМПЕРАТУРУ ГОРЕНИЯ ДУГОВОГО РАЗРЯДА

В.П. Зимин

Томский политехнический университет E-mail: zimin@ido.tpu.ru

Получены и проанализированы решения краевых задач о распределении плотности плазмы и уравнения горения дугового разряда для четырех форм плазменных образований. Показано, что геометрия электродов влияет на температуру горения дуги в термоэмиссионных преобразователях энергии и на их эффективность. Обсуждается влияние геометрических факторов плазменных образований на температуру горения дуги в задаче конкуренции формообразования.

### Ключевые слова:

Краевая задача, уравнение амбиполярной диффузии, уравнение горения дуги, температура горения дуги, плазма, собственная функция, собственное значение, термоэмиссионный преобразователь энергии.

#### Key words:

Boundary value problem, ambipolar diffusion equation, burn arc equation, burn arc temperature, plasma, eigenfunction, eigenvalue, thermionic converter.

## Введение

Дуговой режим реализуется во многих газовых средах в разнообразных плазменных конфигурациях и используется в многочисленных технических устройствах [1]. В частности, низковольтный дуговой разряд в Сѕ используется в термоэмиссионном преобразователе энергии (ТЭП), который генерирует электрическую энергию непосредственно из тепловой. Для этого используются ТЭП как с плоскопараллельными, так и с цилиндрическими электродами [2]. При изучении процессов в плазме в первую очередь необходимо знать распределение плотности и температуры составляющих её частиц.

Задачу о распределении плотности плазмы в положительном столбе в радиальном направлении, перпендикулярном разряду, впервые поставил и решил В. Шоттки [3]. Он показал, что для нулевых граничных условий первого рода и учёте ионизации в зазоре решение представляется в виде функции Бесселя. Решение подобной задачи для одномерного случая в декартовой системе координат (плоскопараллельные электроды) выражается через тригонометрические функции. Температура электронов определяется из уравнения горения дуги для собственных значений задачи о распределения плотности плазмы в зазоре. В [4] данная задача решалась для моделирования параметров плазмы и расчета вольтамперных характеристик разряда в трубках с ионизованным газом. Для низковольтной дуги в Cs и плоскопараллельными электродами задача, аналогичная [4], решена в [2]. В [5, 6] получено общее выражение для условия горения дуги в Cs с произвольными граничными условиями и любого выделенного плазменного слоя в межэлектродном зазоре.

Для больших межэлектродных расстояний ТЭП при зажигании и гашении дуги в зазоре возникают плазменные неоднородности в виде светящейся пленки на электродах или светящейся сферы в за-

зоре. Эта сфера в иностранной литературе получила название ball of fire (огненный шар). Подобные явления возникают и в других газовых средах [1]. Появление пространственных неоднородностей объясняют различными причинами. Например, в [2] сферическую плазменную форму объясняют поверхностной энергией. В настоящей статье рассматривается другая причина: взаимовлияние формы плазменного образования (геометрического фактора) и температуры горения дуги. С этой целью ставятся и решаются задачи распределения плотности плазмы в зазоре для различных пространственных образований плазмы. Одновременно с этим анализируются условия горения дуги, которые позволяют получить соответствующую температуру.

## Постановки краевых задач для определения плотности плазмы

При математическом описании стационарного распределения плотности плазмы в плазменном слое предполагаются следующие допущения. Плазма слабоионизована и состоит из атомов, электронов и однократно заряженных ионов. Внешние поля отсутствуют. Имеется существенная объемная ионизация, а рекомбинационные процессы в объеме пренебрежительно малы. В этом случае диффузионное уменьшение плотности плазмы компенсируется генерацией заряженных частиц в объеме. Такое стационарное состояние плазмы описывается уравнением амбиполярной диффузии

$$D_a \Delta n + v_{ion} n = 0, \tag{1}$$

где n — плотность плазмы;  $D_a$  — коэффициент амбиполярной диффузии;  $v_{lon}$  — частота ионизации в объеме плазмы;  $\Delta$  — оператор Лапласа. Предполагается, что коэффициенты ур. (1) не зависят от пространственных переменных и находится в удовлетворительном согласии с экспериментальными данными [1, 2, 4]. Для полной постановки задачи необходимо задать краевые условия — условия на границе плазмаэлектрод или на границе плазменного образования. Для токонесущей плазмы в общем случае, краевые условия представляют сложную функцию от
плотности плазмы и её производных [2, 5, 6]

$$f(n, \nabla n)_{\Gamma} = 0,$$

где  $\Gamma$  — функция, описывающая границу плазменного образования в пространстве. В [7] показано, что без потери общности для моделирования поведения плотности плазмы можно задавать однородные краевые условия первого рода на экстраполированной границе

$$n_{\Gamma_{-}} = 0, \tag{2}$$

где  $\Gamma_e$  — функция, описывающая экстраполированную границу, на которой плотность плазмы равна нулю.

Рассмотрим несколько постановок краевых задач, в которые трансформируется задача (1, 2) при задании расположения электродов и формы области, заполненной плазмой.

Задача 1. Плазменное образование имеет вид параллелепипеда, размеры которого по осям x, y и z соответственно равны  $x_L$ ,  $y_L$  и  $z_L$ . Плоские прямоугольные электроды ТЭП могут быть ориентированы по осям одним из трех способов. Для определенности положим, что электроды имеют размеры  $y_L$ ,  $z_L$  и перпендикулярны оси x, x. е. межэлектродное расстояние равно  $x_L$ . Задача распределения плотности плазмы в этом случае, с учетом представления оператора Лапласа в (1) в декартовых координатах, имеет вид

$$D_a \left( \frac{\partial^2 n}{\partial x^2} + \frac{\partial^2 n}{\partial y^2} + \frac{\partial^2 n}{\partial z^2} \right) + v_{ion} n(x, y, z) = 0,$$
 (3)

$$n(x = 0, y, z) = 0, \quad n(x = x_L, y, z) = 0,$$

$$n(x, y = 0, z) = 0, \quad n(x, y = y_L, z) = 0,$$

$$n(x, y, z = 0) = 0, \quad n(x, y, z = z_L) = 0.$$
(4)

Задача 2. Плазма находится между двумя дискообразными электродами, радиус которых  $R_C$ ; расстояние между ними  $z_L$ . Плазменное образование имеет форму цилиндра также радиуса  $R_C$  и высотой  $z_L$ . Предполагается, что по азимутальной переменной  $\varphi$  плазма однородна. Тогда, с учетом представления оператора Лапласа в (1) в цилиндрических координатах, задача распределения плотности плазмы имеет вил

$$D_{a}\left(\frac{1}{r}\frac{\partial}{\partial r}\left(r\frac{\partial n}{\partial r}\right) + \frac{\partial^{2} n}{\partial z^{2}}\right) + v_{ion} n(r,z) = 0, \quad (5)$$

$$n(r = R_C, z) = 0,$$
  
 $n(r, z = 0) = 0, \quad n(r, z = z_L) = 0.$  (6)

Заметим, что, исключая тривиальное решение — равенство плотности плазмы во всем объеме нулю и то, что плотность плазмы величина положительная, неявно в краевых условиях (6) присут-

ствует условие II рода:  $\left. \frac{\partial n}{\partial r} \right|_{r=0} = 0$ . Оно показывает,

что распределение плотности плазмы вдоль координаты r имеет экстремум (максимум) при r=0.

Задача 3. Плазма заключена между соосными цилиндрическими электродами. Радиус эмиттера равен  $r_E$ , коллектора  $r_C$ . Как и во второй задаче, высота цилиндров равна  $z_L$ , плазма по азимуту однородна. Тогда, с учетом представления оператора Лапласа в (1) в цилиндрических координатах, задача распределения плотности плазмы между двумя цилиндрическими электродами имеет вид

$$D_{a}\left(\frac{1}{r}\frac{\partial}{\partial r}\left(r\frac{\partial n}{\partial r}\right) + \frac{\partial^{2} n}{\partial z^{2}}\right) + v_{ion} n(r,z) = 0, \quad (7)$$

$$n(r = r_E, z) = 0, \quad n(r = r_C, z) = 0,$$
  
 $n(r, z = 0) = 0, \quad n(r, z = z_L) = 0.$  (8)

Задача 4. Плазменное образование принимает форму шара с радиусом  $R_{S}$ . В этой задаче на вид электродов ограничения не накладываются. Считается, что межэлектродное расстояние гораздо больше  $R_{S}$ , а по переменным  $\varphi$  и  $\theta$  плазма однородна. Тогда, с учетом представления оператора Лапласа в (1) в сферических координатах, задача распределения плотности плазмы в шаровом образовании имеет вил

$$D_a \frac{1}{r^2} \frac{\partial}{\partial r} \left( r^2 \frac{\partial n}{\partial r} \right) + v_{ion} n(r) = 0, \tag{9}$$

$$n(r = R_s) = 0. ag{10}$$

В задачах 3 и 4, как и в задаче 2 неявно задается однородное условие II рода.

# Решения краевых задач для плотности плазмы и их анализ

Все приведенные выше задачи являются линейными и однородными: правые части дифференциальных уравнений и краевые условия І рода равны нулю. Для их решения целесообразно использовать метод Фурье [8]. Представим основные выкладки решения первой задачи. Для остальных задач приведем только решение в окончательном виде.

Представим решение ур. (3) в виде

$$n(x, y, z) = n_A n_X(x) n_Y(y) n_Z(z),$$
 (11)

где  $n_A$  — максимальное значение плотности плазмы в области определения. Подставляя (11) в (3), получим

$$D_{a} \begin{pmatrix} n_{A}n_{Y}(y)n_{Z}(z)\frac{\partial^{2}n_{X}(x)}{\partial x^{2}} + \\ +n_{A}n_{X}(x)n_{Z}(z)\frac{\partial^{2}n_{Y}(y)}{\partial y^{2}} + \\ +n_{A}n_{X}(x)n_{Y}(y)\frac{\partial^{2}n_{Z}(z)}{\partial z^{2}} \end{pmatrix} + \nu_{ion}n_{A}n_{X}(x)n_{Y}(y)n_{Z}(z) = 0.$$
 (12)

Разделив все слагаемые в правой части (12) на функцию  $D_a n_A n_X(x) n_Y(y) n_Z(z) \neq 0$ , окончательно получим

$$\frac{1}{n_X(x)} \frac{\partial^2 n_X(x)}{\partial x^2} + \frac{1}{n_Y(y)} \frac{\partial^2 n_Y(y)}{\partial y^2} + \frac{1}{n_Z(z)} \frac{\partial^2 n_Z(z)}{\partial z^2} + \frac{\mathbf{v}_{ion}}{D_a} = 0.$$
(13)

Проводя аналогичные действия с (4), краевые условия для ур. (13) запишем в виде

$$n_X(x=0) = 0, \quad n_X(x=x_L) = 0,$$
  
 $n_Y(y=0) = 0, \quad n_Y(y=y_L) = 0,$   
 $n_Z(z=0) = 0, \quad n_Z(z=z_L) = 0.$  (14)

Три первых члена в (14) зависят от разных переменных, но каждый член — только от одной: x, y, z, соответственно. В свою очередь четвертый член правой части ур. (13) — положительная константа. Поэтому ур. (13) имеет решение тогда, когда каждый из трех первых членов равен своей константе

$$\frac{1}{n_X(x)} \frac{\partial^2 n_X(x)}{\partial x^2} = -\lambda_x^2, \quad \frac{1}{n_Y(y)} \frac{\partial^2 n_Y(y)}{\partial y^2} = -\lambda_y^2, 
\frac{1}{n_Z(z)} \frac{\partial^2 n_Z(z)}{\partial z^2} = -\lambda_z^2,$$
(15)

а для суммы этих констант выполняется равенство

$$\lambda_x^2 + \lambda_y^2 + \lambda_z^2 = \frac{v_{ion}}{D_a}.$$
 (16)

Решая каждое из ур. (15), получим  $n_X(x) = \sin(\lambda_x x), \ n_Y(y) = \sin(\lambda_y y),$ 

$$n_Z(z) = \sin(\lambda_z z). \tag{17}$$

Чтобы решения вида (17) удовлетворяли краевым условиям (14), необходимо выполнение равенств

$$\lambda_x = \frac{\pi}{x_I}, \ \lambda_y = \frac{\pi}{y_I}, \ \lambda_z = \frac{\pi}{z_I}.$$
 (18)

Тогда решение краевой задачи (3), (4) окончательно запишем в виде

$$n(x, y, z) = n_A n_X(x) n_Y(y) n_Z(z) =$$

$$= n_A \sin\left(\frac{\pi}{x_L}x\right) \sin\left(\frac{\pi}{y_L}y\right) \sin\left(\frac{\pi}{z_L}z\right), \tag{19}$$

а из (16) с учетом (18) получаем уравнение горения дуги для задачи 1

$$\frac{V_{ion}}{D_a} = \left(\frac{\pi}{x_L}\right)^2 + \left(\frac{\pi}{y_L}\right)^2 + \left(\frac{\pi}{z_L}\right)^2. \tag{20}$$

Величины  $\lambda_x$ ,  $\lambda_y$ ,  $\lambda_z$  называют собственными значениями, а соответствующие им функции (17) — собственными функциями. Легко получить решение задачи 1 с меньшим числом переменных, например для x и y. В этом случае из решения (19) отбрасывается собственная функция  $n_Z(z) = \sin((\pi/z_L)z)$ , а из ур. (20) — третий член в правой части.

Решение задачи 2, ур. (5), (6), имеет вид

$$n(r,z) = n_A n_R(r) n_Z(z) = n_A J_0 \left(\frac{\mu_1}{R_C} r\right) \sin\left(\frac{\pi}{z_L} z\right), (21)$$

где  $J_0(...)$ ,  $\mu_1$  — функция Бесселя нулевого порядка и значение её первого корня. Уравнение горения дуги для плазмы, находящейся между двумя дискообразными электродами, имеет вид

$$\frac{\mathbf{v}_{ion}}{D_a} = \left(\frac{\mu_1}{R_C}\right)^2 + \left(\frac{\pi}{z_L}\right)^2. \tag{22}$$

Решение задачи 3, ур. (7), (8), записывается в виде  $n(r,z) = n_x n_x(r) n_z(z) =$ 

$$= n_A J_0 \left( \frac{2\mu_1}{r_C - r_E} \left( r - \left( \frac{r_E + r_C}{2} \right) \right) \right) \sin \left( \frac{\pi}{z_L} z \right), \qquad (23)$$

а уравнение горения дуги для плазмы, находящейся между двумя цилиндрическими электродами, запишется как

$$\frac{v_{ion}}{D_a} = \left(\frac{2\mu_1}{r_C - r_E}\right)^2 + \left(\frac{\pi}{z_L}\right)^2. \tag{24}$$

Наконец, решение задачи 4, ур. (9), (10), представляется в виде

$$n(r) = n_A n_S(r) = n_A \frac{\sin\left(\frac{\pi}{R_S}r\right)}{\frac{\pi}{R_S}r},$$
 (25)

и уравнение горения дуги для шаровой плазменной области принимает вид

$$\frac{V_{ion}}{D_a} = \left(\frac{\pi}{R_s}\right)^2. \tag{26}$$

В лабораторных исследованиях используются ТЭП как с плоскопараллельными, так и с цилиндрическими электродами [2, 9]. Для промышленных прототипов термоэмиссионных элементов в большинстве случаев применяют цилиндрические электроды. Но при моделировании характеристик прототипов используют в основном характеристики, полученные для ТЭП с плоскопараллельными электродами. Оценим изменение температуры горения дуги при переходе от плоскопараллельной геометрии электродов преобразователя к цилиндрической.

Термоэмиссионное преобразование энергии наиболее эффективно при межэлектродных расстояниях d порядка долей мм. Тогда при  $y_L$ ,  $z_L >> d$  можно ограничиться одномерным рассмотрением плазменных процессов в межэлектродном зазоре. В этом случае для плоскопараллельных электродов условие горения дуги с учетом (20) запишется как

$$\frac{v_{lon}}{D_a} = \left(\frac{\pi}{x_I}\right)^2,\tag{26}$$

а для цилиндрических электродов с учетом (24) — в виле

$$\frac{V_{ion}}{D_a} = \left(\frac{2\mu_1}{r_C - r_E}\right)^2,\tag{27}$$

 $\mu_1 = 2.405$ .

Частота ступенчатой ионизации в Cs равна [9]

$$V_{ion} = n_a \overline{V}_e(T_e) \sigma_0(T_e), \tag{28}$$

где  $n_a$  — плотность атомов цезия в плазме;  $\overline{v}_e(T_e)$  — тепловая скорость электронов с температурой горения дуги  $T_e$ ;  $\sigma_0(T_e)$ =1,44·10<sup>-12</sup>·exp( $-eE_0/kT_e$ ) — сечение ступенчатой ионизации; e — заряд электрона; k — постоянная Больцмана;  $E_0$ =3,21 эВ.

Температура горения дуги определяет затраты на ионообразование. Чем меньше температура, тем характеристики преобразователя больше приближаются к идеальным [8]. Из (28) следует, что  $\overline{v}_e(T_e)$  и  $v_{ion}$  ехр( $-eE_0/kT_e$ ), но вторая зависимость более сильная и следует учитывать только её. Давление насыщенных паров цезия в преобразователях с различными типами электродов полагаем равным и учтем, что  $d=x_L=r_C-r_E$ . Делим ур. (27) на (26) с учетом (28) и, выполнив ряд преобразований, получим зависимость

$$\Delta T_{eR} = \frac{2\ln(\mu_1/\pi)T_{eX}^2}{eE_0/k - 2\ln(\mu_1/\pi)T_{eX}},$$
 (29)

где  $T_{eX}$ — температуры горения дуги для ТЭП с плоскопараллельными электродами;  $\Delta T_{eR} = T_{eR} - T_{eX}$ — приращения температуры горения дуги для преобразователя с цилиндрическими электродами. Для характерных температур горения дуги в цезии  $T_{eX} = 2000$  и 2500 К [9] приращение температуры  $\Delta T_{eR}$  составляет 95 и 151 К соответственно, т. е. порядка 5...6 %.

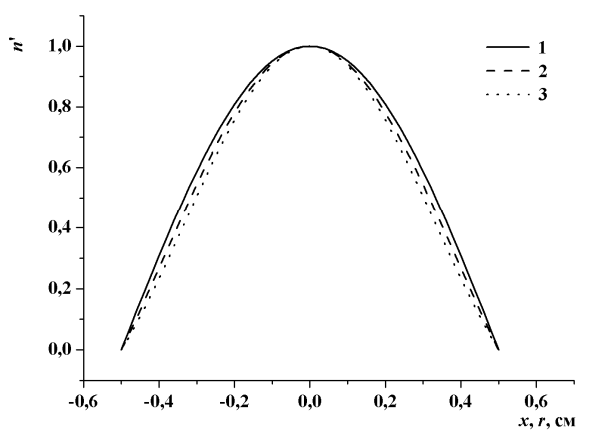
Таким образом, принимая во внимание температуру горения дуги, при прочих равных условиях, ТЭП с плоскопараллельными электродами более эффективен, чем с цилиндрическими.

Проведем анализ задачи конкуренции формообразования: каким образом зависит температура горения дуги от геометрических факторов плазменного образования. Данная задача решается аналогичным образом, как и предыдущая. Для этого получим оценки температуры горения дуги для равнообъемных плазменных образований задач 1, 2, 4. Указанные в задачах плазменные образования возьмем в виде шара, цилиндра, у которого диаметр равен высоте, и куба. Объем каждого из этих образований равен V=4,189 см², а их геометрические размеры  $R_s$ =1 см,  $z_t$ =2 $R_c$ =1,747 см,  $x_t$ = $y_t$ = $z_t$ =1,612 см.

Если задавать температуру горения дуги для образования в виде шара, то, используя (20), (22) и (26), для образований в виде куба и цилиндра можно получить формулы, аналогичные (29). Положим для плазменного образования в виде шара температуру горения  $T_{es}$ =2500 К. Тогда приращение температуры горения дуги для плазменного тела в виде цилиндра равно 15 К. Приращение температуры горения дуги для плазменного тела в виде куба на 25 К, т. е. оба приращения порядка 1 %. Различие температур горения дуги для указанных форм плазменных тел мало для того, чтобы одна из форм получила при их физическом формировании преимущество перед другими. По-видимому, на конкурен-

цию форм влияют и другие геометрические факторы. Излучение плазменного тела существенно зависит от площади его поверхности. Так, для выбранных выше параметров, отношение поверхности плазменного тела к его объему для шара, цилиндра и куба равны 3,0:3,4:3,7. И для этого фактора наблюдается такая же упорядоченность, как и для температуры горения дуги. Эти два фактора уже выявляют преимущество шаровидного плазменного образования. Возможно, что существенную роль на форму образований оказывают форма электродов и величина межэлектродного расстояния.

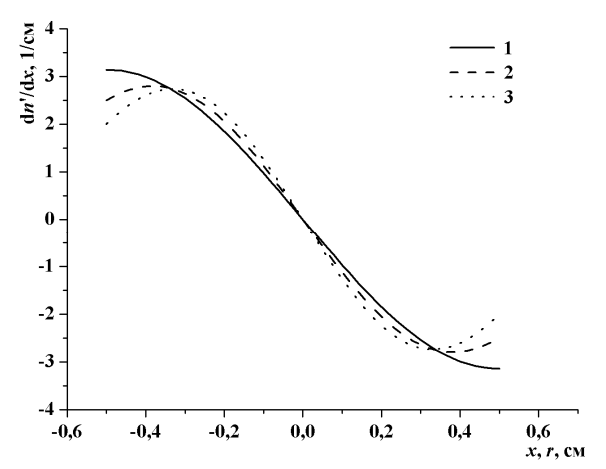
Для задач идентификации и диагностики важную роль играют характерные особенности распределения параметров плазмы, в частности, плотности плазмы. Из анализа задач 1—4 и полученных решений (19), (21), (23), (25) можно заключить, что для рассмотренных форм плазменных образований имеются три характерные собственные функции:  $n_x'(x) = \sin(\pi x/x_L),$  $n_R'(r)=J_0(\mu_1 r/R_C)$  $n_s'(r) = \sin(\pi r/R_s)/(\pi r/R_s)$ , нормированные на  $n_A$ . На рис. 1 изображены данные функции  $(1 - n_x'(x),$  $2 - n_R'(r)$ , 3 –  $n_S'(r)$ ) для параметров,  $x_L=1$  см,  $R_{c}=R_{s}=0,5$  см. Для удобства сравнения функций зависимость  $n_x'(x)$  сдвигалась влево на  $x_1/2$ , что не меняло её характерное поведение. На рис. 2 представлены первые производные этих функций.



**Рис. 1.** Характерные собственные функции, описывающие плотность плазмы в дуговом разряде

Если поведение функций различается мало, то их дифференциальные характеристики имеют существенное различие в приграничных областях (рис. 2). При значениях |r| > 0.35, что соответствует области изменения плотности плазмы  $n/n_A < 0.4$ , имеется немонотонное поведение производных собственных функций  $n_R(r)$  и  $n_S(r)$ .

Область значений  $n/n_A < 0.4$  реализуется при малых и средних токах, проходящих через термоэмиссионный преобразователь [9]. Поэтому производные указанных функций могут быть использованы для диагностики параметров экспериментального распределения плотности плазмы, в том числе формы плазменного образования.



**Рис. 2.** Производные характерных собственных функций плотности плазмы в дуговом разряде

## Выводы

1. Получены решения краевых задач о распределении плотности плазмы различных пространственных форм и уравнения горения дуги, позволяющие определить ее температуру. Реше-

## СПИСОК ЛИТЕРАТУРЫ

- Грановский В.Л. Электрический ток в газах. Установившийся ток / под ред. Л.А. Сена и В.Е. Голанта. – М.: Наука, 1971. – 543 с.
- 2. Физические основы термоэмиссионного преобразования энергии / И.П. Стаханов, В.П. Пащенко, А.С. Степанов, Ю.К. Гуськов; под ред. И.П. Стаханова. М.: Атомиздат, 1973. 374 с.
- 3. Schottky W. Diffusionstheorie der positiven Saule // Physikalische Zeitschrift. 1924. Bd. 25. S. 635–640.
- Грановский В.Л. Электрический ток в газах. Т. 1. Общие вопросы электродинамики газов. М.; Л.: Гос. изд-во технико-теор. лит-ры, 1952. 432 с.
- Зимин В.П. Алгоритм расчета вольт-амперных характеристик термоэмиссионного преобразователя с постоянной температурой электронов / Ред. журн. «Известия вузов. Физика». – Томск, 1984. – № 7. – 36 с. – Деп. в ВИНИТИ 21.03.1984, № 1571–84.

ния представляют произведения собственных функций; уравнения горения дуги — композицию собственных значений.

Плотность плазмы формируют три характерные собственные функции. Две из них, связанные с цилиндрической и сферической системами координат, имеют области немонотонного поведения первых производных. Это можно использовать для идентификации и диагностики параметров плазмы.

- 2. Исследовано влияние формы электродов и плазменных образований на температуру горения дуги в Сs:
  - Для термоэмиссионного преобразователя с цилиндрическими электродами по сравнению с плоскопараллельными температура горения дуги выше на 90...150 К.
  - Отличие по температуре горения для плазменных образований различной формы не превышает 1 %. На конфигурацию плазменных образований существенно влияют геометрия и близость расположения электродов.
- Зимин В.П. Исследование функций для управляющего параметра краевой задачи диффузии плотности плазмы // Известия Томского политехнического университета. 2008. Т. 313. № 4. С. 86–92.
- Лошкарев А.И. Аналитическая модель дугового режима и ее использование для оптимизации рабочих параметров ТЭП // Журнал технической физики. – 1972. – Т. 42. – Вып. 10. – С. 2127–2136.
- Араманович И.Г., Левин В.И. Уравнения математической физики. – М.: Наука, 1964. – 287 с.
- Термоэмиссионные преобразователи и низкотемпературная плазма / Ф.Г. Бакшт, Г.А. Дюжев, А.М. Марциновский и др.; под ред. Б.Я. Мойжеса и Г.Е. Пикуса. – М.: Наука, 1973. – 480 с.

Поступила 11.03.2010 г.